

2. Synthesis of graphene-like structures in hybrid organic-inorganic polymers / D. Savchenko, E. Paschenko, A. Chernenko, O. Lazhevskaya // International conf. EMRS–2013, Warsaw.
3. Получение низкотемпературных керамических композитов с СТМ на основе полиорганосилоксанов / Пашенко Е. А., Черненко А. Н., Шатохин В. В., Лажевская О. В., Савченко Д. А. // Породоразрушающий и металлообрабатывающий инструмент – техника и технология его изготовления и применения. - Киев: ИСМ им. В. Н. Бакуля, НАН Украины. 2013. – вып. 16. – С. 535–544.

Поступила 02.06.14

УДК 621.921

Д. А. Савченко

Институт сверхтвердых материалов им. В.Н. Бакуля НАН Украины, г. Киев

ВЛИЯНИЕ ОСОБЕННОСТЕЙ ГИБРИДНЫХ ОЛИГОМЕРОВ НА ИХ КОНТАКТ С ПОВЕРХНОСТЬЮ КНБ

Рассмотрено влияние химических особенностей структуры гибридного олигомера на способность к удержанию зерен кубонита в связующих на его основе.

Приведены данные об изменении природы контакта между зерном и связкой, относительного расхода кубонита в зависимости от количества металла, вошедшего в состав гибридного связующего.

Ключевые слова: гибридный полимер, олигофенилен, ванадий, железо, медь, кубический нитрид бора, адгезия.

Введение

Гибридные полимеры – особый класс инструментальных материалов способный объединять преимущества полимерных и керамических связующих. Разработанный класс гибридных полимеров на основе олигофенилена и комплексных соединений ванадия, железа и меди показал высокие результаты при использовании в качестве связок для изготовления абразивного инструмента [1]. Это достигается за счет того, что в их структуру входят не только органические фрагменты, представленные полимерными цепочками, но и фрагменты, представленные кластерами и частицами металла. Высокая режущая способность и триботехнические свойства достигаются как за счет особенностей непосредственно структуры материала, так и хорошего адгезионного контакта с зернами СТМ, обеспечиваемого структурными особенностями гибридного полимера.

Цель настоящей работы – исследовать взаимосвязь структурных особенностей гибридных материалов на основе ванадия, железа и меди, их адгезионного контакта и зерен СТМ с рабочими показателями разработанных инструментальных композитов на их основе.

Экспериментальная часть

В основе эксперимента лежала особенность гибридных олигомеров растворяться в неполярных высококипящих растворителях. Это позволяет предварительно покрывать зерна гибридными связующими и вводить их в шихту для абразивного инструмента на основе того же полимера. При формировании композита в одинаковых условиях спекания, но при различных условиях получения первичного адгезионного слоя рабочие свойства

инструмента зависят от характеристик слоя, что позволяет оценить его влияние на качественном и количественном уровнях.

Олигомеры на основе ванадия, железа, меди массой 100 г растворяли в 100 мл диметилсульфоксида, после чего в раствор помещали 10 г зерен СТМ. Для анализа использовали гибридные олигомеры на основе ванадия, железа и меди с различным содержанием металлических фрагментов (см. таблицу).

Содержание металла в гибридном олигомере

Металл – основа гибридного олигомера	Содержание металла в гибридном олигомере, мас. %			
Ванадий	1,8	9,36	16,92	20,64
Железо	5,25	15,3	29,25	40,2
Медь	7,05	12,76	18,48	20,13

Различное содержание металлических фрагментов связано с влиянием начальной концентрации раствора металла на образование гибридного олигомера [1]. В качестве сверхтвердых материалов использовали кубический нитрид бора марки КВ зернистостью 125/100. Смесь раствора олигомера и СТМ нагревали при температуре ниже температуры полимеризации гибридных олигомеров – 100 °С в течение 15 мин. При нагревании на зернах СТМ образовалась пленка из олигомера (неэкстрагируемый остаток), которую удалить растворителем невозможно. Адгезионный контакт связки и зерна оценивали по привесу неэкстрагируемого остатка на зернах, а также по данным ИК-спектроскопии и изменению краевого угла смачивания. ИК-спектры регистрировали на Фурье-спектрометре Nicolet iS10. Покрытые зерна вводили в шихту, основу которой составляли гибридные олигомеры с производными тех же металлов с массой неорганического фрагмента 16,92 г (ванадия), 15,30 (железа), 12,76 (меди) на 100 г гибридного олигомера. Первичное покрытие зерен позволило нивелировать влияние различной вязкости расплавов различных олигомеров на адгезию связки к зернам, тем самым, мы старались проследить влияние структуры олигомера и межфазного контакта олигомер – зерно на рабочие характеристики инструмента. Для сравнения данных эксперимента использовали связку В2-01, а также связку на основе олигофенилена, не содержащую металлических кластеров. Испытания по удержанию зерен кубонита в связке проводили на модельном стенде.

Результаты исследования и их обсуждение

Зависимости доли неэкстрагируемого остатка гибридного олигомера на зернах кубонита от содержания металла, в олигомере показаны на рис. 1.

Результаты эксперимента свидетельствуют, что чем больше содержание металла, в гибридном олигомере, тем больше доля неэкстрагируемого остатка на зернах кубонита. Наибольшее содержание неэкстрагируемого остатка – 0,24; 0,28 и 0,29 мас. % – наблюдалось в олигомере содержащем в 100 г олигофенилена 20,64; 40,20 и 23,10 мас. % соответственно ванадия, железа и меди. Таким образом, максимальная степень вхождения металла обеспечивает наибольшую долю неэкстрагируемого остатка на зернах.

Влияние содержания металла, в олигомере при синтезе на расход зерен кубонита при шлифовании сплава ЖС-6У кругами 12A2-45 75×10×3 КВ 125/100 100% показано на рис.2.

Результаты эксперимента свидетельствуют о том, что увеличение содержания металла в гибридном олигомере способствует уменьшению расхода СТМ.

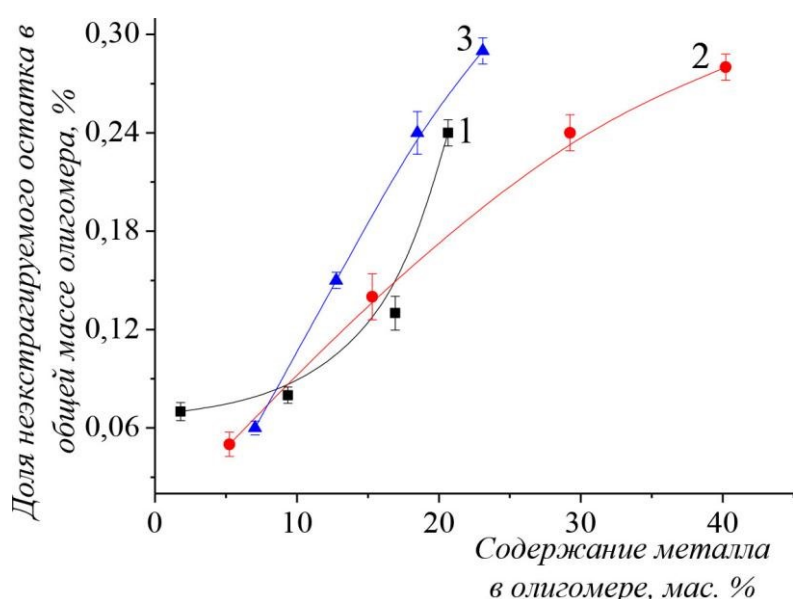


Рис. 1. Зависимости доли неэкстрагируемого остатка на зернах КВ 125/100 от содержания металла в гибридном олигомере на основе: 1 – ванадия; 2 – железа; 3 – меди

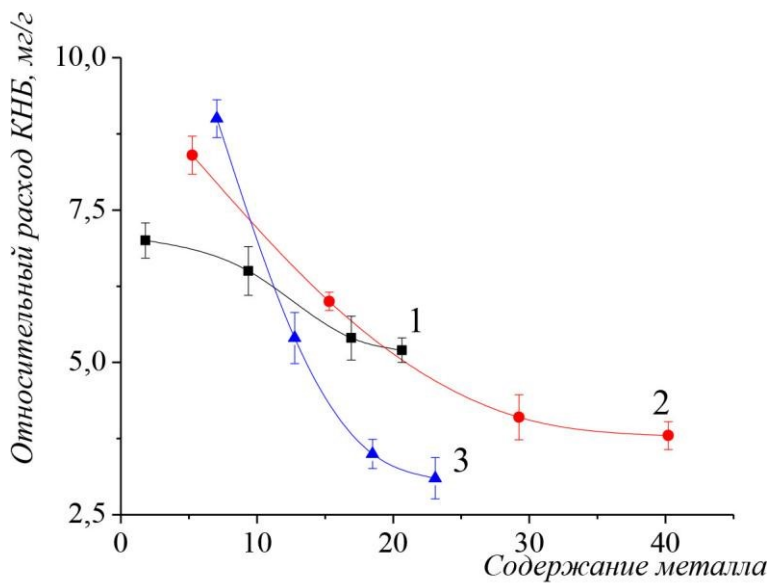


Рис. 2. Зависимости относительного расхода КВ 125/100 от содержания металла в олигомере на основе: 1 – ванадия; 2 – железа; 3 – меди

Сравнив данные рис. 1 и 2, приходим к выводу, что чем выше доля неэкстрагируемого остатка на обработанных зернах кубонита, тем выше интенсивность уменьшения расхода СТМ с увеличением содержания металла в олигомере. Так, для производных ванадия, железа и меди наибольшая доля неэкстрагируемого остатка и наивысшая чувствительность стойкости к содержанию металла в связующем наблюдались у меди, а затем у железа и ванадия. Возможно раскрыть причины такого явления смогут данные инфракрасной спектроскопии и измерение краевого угла смачивания обработанных зерен.

Результаты инфракрасной спектроскопии показаны на рис. 3.

В анализе данных инфракрасной спектроскопии особое внимание уделяли трем полосам, соответствующим колебаниям атомных групп $C=C$ (1480 cm^{-1}) в бензольном кольце олигофенилена, $-C-O-B-$ (1400 cm^{-1}) эфирных мостиков между бензольными кольцами олигофениленов и кубическим нитридом бора и OH-групп ($1370, 1010\text{ cm}^{-1}$) олигофенолятов [2]. Изменение их интенсивности обусловлено влиянием неэкстрагируемого остатка

олигомера на зернах КНБ и его расходом в инструменте. На рис. 3 видим снижение интенсивности полос, связанных с OH-группами (особенно по полосе 1010 cm^{-1}), а также группами $C=C$ и $-C-O-B-$. Снижение интенсивности колебаний OH-групп и, напротив, повышение интенсивности полос $-C-O-B-$ согласно литературным данным [3–5] связано с образованием хемосорбционных контактов между функциональными группами олигофенилена и функциональными группами на поверхности кубонита.

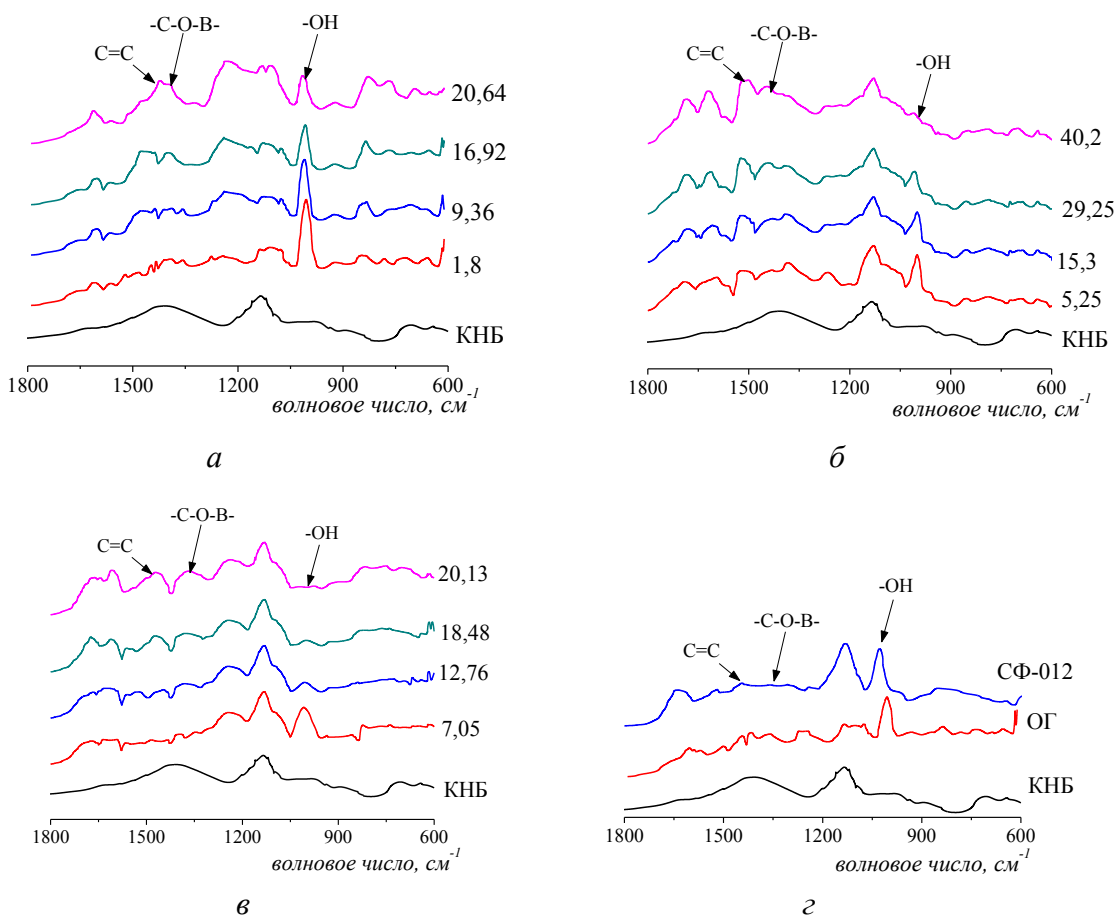


Рис. 3. ИК-спектры олигофенолятов: а – ванадия; б – железа; в – меди; г – олигофенилена, не содержащего кластеров металла и фенол-формальдегидной смолы; КНБ – спектр кубического нитрида бора непокрытого олигомером; ОГ – олигофенилен, не содержащий кластеров металла; СФ-012 – смола фенолформальдегидная; цифры возле спектров – массовое содержание металла в гибридном олигомере, покрывающем зерно

Гидроксильные группы, реагируя с функциональными группами на поверхности кубонита, образуют мостики $-\text{C}-\text{O}-\text{B}-$, причем интенсивность линий, соответствующих их колебаниям, повышается. Чем быстрее снижается интенсивность полос, связанных с колебаниями гидроксильных групп, тем быстрее переходит физическая адсорбция олигомера на зернах в химическую. Выбранные металлы по скорости такого перехода можно расположить следующим образом: медь, железо, ванадий. Такой ряд соответствует ранее показанному ряду увеличения доли нэкстрагируемого остатка на зернах СТМ и скорости уменьшения его расхода в инструменте. При этом также повышается интенсивность полос поглощения, связанных с группами $\text{C}=\text{C}$. Это означает [6], что происходит конденсация бензольных колец с образованием небольших сопряженных циклов (2–4 кольца на один сопряженный цикл), которые в дальнейшем при полимеризации могут служить прекурсорами графена и графана. В результате того, что слои графена и графана имеют делокализованную электронную плотность [7], они могут образовывать дополнительный прочный адсорбционный контакт с зернами кубонита за счет электростатических и Ван дер ваальсовых сил, что также способствует удержанию зерен в связке. Наибольшее повышение интенсивности полосы поглощения, связанной с колебаниями $\text{C}=\text{C}$ связей, наблюдали для олигомеров на основе меди и железа, поэтому и расход СТМ в связке для них меньше. Результаты спектроскопии зерен, покрытых олигофениленом, не содержащих металла, а

также смолой СФ-012 указывают на образование адгезионного контакта между кубонитом и связующим, однако этот контакт менее совершенен, чем в случае гибридных олигомеров.

На основе гибридных олигомеров, инкорпорировавших при синтезе максимальное количество металла (при котором наблюдался наилучший адгезионный контакт с зернами кубонита), изготовлены абразивный инструмент 12А2–45 75×10×3 КВ 125/100 100%. Исследовали влияние температуры и давления полимеризации на расход кубонита в связке. Для сравнения использовали инструмент на основе олигофенилена, не содержащего металла, и связки В2-01. Результаты эксперимента представлены на рис. 4:

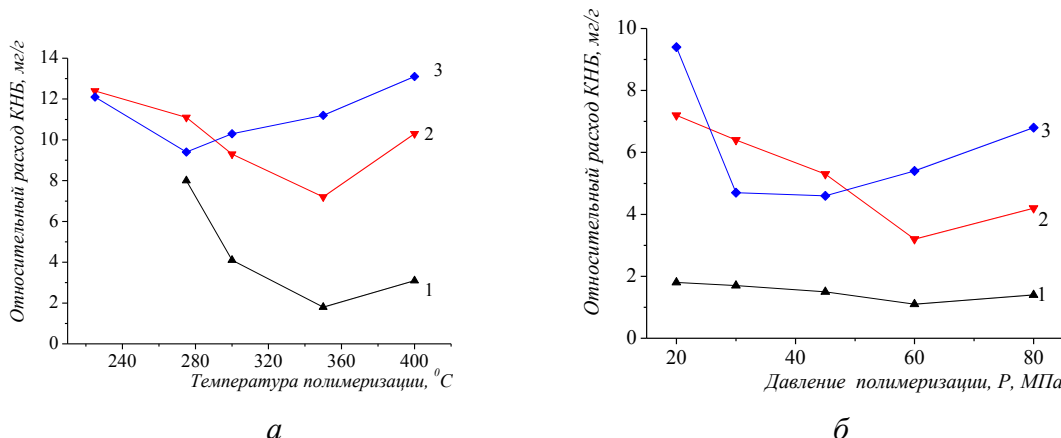


Рис. 4. Зависимости расхода КНБ: а – от температуры; б – от давления полимеризации олигомеров; 1 – гибридный олигомер на основе меди; 2 – олигофенилен, не содержащий металлических фрагментов; 3 – связка В2-01

Как видим работа инструмента на основе гибридного связующего и инструмента, на основе негибридного олигофенилена или связующего СФ-012 качественно различается. При полимеризации композитов на основе гибридных олигомеров с наибольшим содержанием металла существует комплекс взаимосвязанных причин уменьшения расхода СТМ, однако прежде всего, это обусловлено описанным сильным адгезионным контактом между зерном и гибридной связкой.

В целом интерпретация данных об адгезии схематически проиллюстрирована на рис. 5.

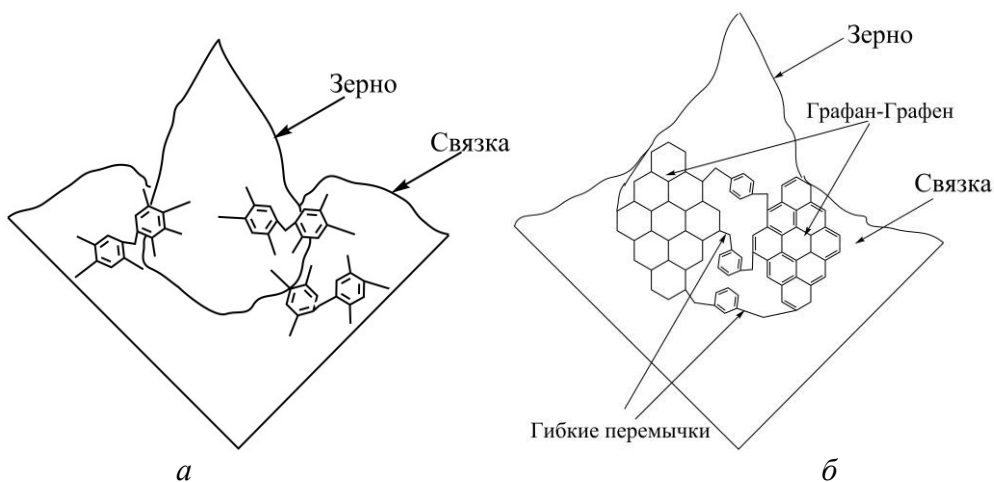


Рис. 5. Схематическое изображение зерна КНБ, погруженного в связующее: а – негибридное; б – гибридное связующее

Качественное различие состоит в том, что в негибридном связующем (рис. 5а) существует небольшое количество сшивок между зернами СТМ и полимером. При использовании гибридного связующего (рис. 5б) зерно как бы «обжато» участками полимера, которые в случае гибридных связующих на основе ванадия, железа и меди представляют собой графеновые и графановые плоскости [6], соединенные гибкими перемычками из линейных участков полимера. Фрагменты металла, находящиеся в связке, имеют каталитические свойства [11–13] относительно процессов гидрирования-дегидрирования, и тем самым способствуют формированию графеновых и графановых плоскостей, улучшающих физическую адсорбцию. Металлические фрагменты, вероятнее всего, способствуют ориентированию функциональных групп гибридного олигомера в сторону поверхности зерен кубонита, тем самым способствуя образованию хемсорбционных контактов.

Выводы

Проанализированы причины уменьшения расхода зерен КНБ при использовании гибридного связующего. Предложен механизм формирования совершенного адгезионного контакта путем химической адсорбции функциональных групп гибридного олигомера и полимера на поверхности зерна. В свою очередь, это создает предпосылки для качественного смачивания КНБ олигомером. Способность к хемсорбции, и степень смачивания зависят от содержания металла, в гибридном связующем. Получено доказательство, что с увеличением содержания металла в гибридном связующем количество химических связей между олигомером и зерном увеличивается, в результате чего уменьшается расход СТМ при работе шлифовальных кругов на основе полученных композитов.

Розглянуто вплив хімічних особливостей структури гібридного олігомеру на здатність до утримання зерен кубоніту у зв'язуючих на його основі.

Наведено дані про зміну природи контакту між зерном та зв'язкою, відносну витрату кубоніту залежно від кількості металу, що увійшов до складу гібридного зв'язуючого.

Ключові слова: гібридний полімер, олігофенілен, ванадій, залізо, мідь, кубічний нітрид бору, адгезія.

The influence of chemical structural features of hybrid oligomers on cBN grains retention in hybrid binders was considered.

The data of contact nature changing between grains and bonds, the cBN relative flow rate were presented. It is shown that they were depend on metal amount in hybrid binders.

Key words: hybrid polymer, oligophenylene, vanadium, iron, copper, cubic boron nitride, adhesion.

Литература

1. Савченко Д. А. Гибридные органо-неорганические полимеры как новый класс инструментальных материалов. Оптимизация синтеза и механизм реакции / Д.А. Савченко // Сборник научных трудов. Породоразрушающий и металлообрабатывающий инструмент – техника и технология его изготовления и применения. – К.: ИСМ им. В.Н. Бакуля НАН Украины, 2013 – Вып. 16. – С. 381–396.
2. Raković D. IR spectra and structure of poly (p-phenylene)-a theoretical study / D. Raković // Solid State Communic. – 1982. – 43. – N 2. – C. 127–129.
3. Yoder M.N. Semiconductors of the future, and the future is now! / M.N. Yoder // Photonics West'95. – Intern. Soc. for Optics and Photonics, 1995. – P. 278–282.

4. Bhattacharya A. Band gap engineering by functionalization of BN sheet / A. Bhattacharya, S. Bhattacharya, G.P. Das. // Phys. Rev. B. – 2012. – 85. – N 3. – P. 35415–35430.
5. Shi Y. Synthesis of few-layer hexagonal boron nitride thin film by chemical vapor deposition / Y. Shi // Nano letters. – 2010. – 10. – N 10. – P. 4134–4139.
6. Synthesis of graphene-like structures in hybrid organic-inorganic polymers / D. Savchenko, E. Paschenko, A. Chernenko, O. Lazhevskaya // Intern. conf. EMRS–2013. – Warsaw, 2013. – P. 33
7. Elias D.C. Control of graphene's properties by reversible hydrogenation: evidence for graphane / D.C. Elias // Sci. – 2009. – 323. – N 5914. – P. 610–613.
8. Schönherr H. Self-assembled monolayers of symmetrical and mixed alkyl fluoroalkyl disulfides on gold. 1. Synthesis of disulfides and investigation of monolayer properties / H. Schönherr, H. Ringsdorf // Langmuir. – 1996. – 12. – N 16. – P. 3891–3897.
9. Kang J. F. Wetting and Fourier transform infrared spectroscopy studies of mixed self-assembled monolayers of 4'-methyl-4-mercaptop biphenyl and 4'-hydroxy-4-mercaptop biphenyl / J.F. Kang, R. Jordan, A. Ulman // Langmuir. – 1998. – 14. – N 15. – P. 3983–3985.
10. Липатов Ю.С. Физическая химия наполненных полимеров./ Ю.С. Липатов. – М.: Химия, 1977. – 303 с.
11. Mamedov E. A. Oxidative dehydrogenation of lower alkanes on vanadium oxide-based catalysts. The present state of the art and outlooks / E. A. Mamedov, V. Cortés Corberán // Applied Catalysis A: General. – 1995. – 127. – N 1. – P. 1–40.
12. Костынюк А. О. Катализическое окисление метанола на диспергированном в инертной матрице оксидном железо-молибденовом катализаторе / А.О.Костынюк, Н.Б.Николенко // Вопр. химии и хим. технологии. – 2009. – №. 5. – С. 25–32.
13. Tu Y.J. Effect of chromium promoter on copper catalysts in ethanol dehydrogenation / Y.J. Tu, C. Li, Y.W.Chen //J. Chem. Technol. and Biotechnol. – 1994. – 59. – N 2. – P. 141–147.

Поступила 02.06.14

УДК 621.921.343

А. П. Возняковский, д-р хим наук; **А. В. Калинин**, канд. хим наук; **Л. В. Агибалова**;
И. В. Шугалей, д-р хим наук

ФГУП «НИИСК», Санкт-Петербург, Россия

НАНОАЛМАЗЫ ДЕТОНАЦИОННОГО СИНТЕЗА. ФУНКЦИОНАЛИЗАЦИЯ ПОВЕРХНОСТИ ПЕРФТОРИРОВАННЫМИ РАДИКАЛАМИ

Для улучшения диспергирования детонационных наноалмазов (ДНА) в малополярных жидких средах разработана методика функционализирования их поверхности химической прививкой перфторированных радикалов. Методом инфракрасной Фурье-спектроскопии показана эффективность функционализации поверхности ДНА. Методом динамического светорассеяния показана, возможность получения устойчивых нанодисперсных вторичных супензий функционализированных ДНА в этилацетате. Продемонстрировано, что функционализация поверхности ДНА перфторированными радикалами обеспечивает формирование устойчивых вторичных супензий ДНА в этилацетате.

Ключевые слова: Детонационные наноалмазы, функционализация поверхности, вторичные супензии, седиментационная устойчивость супензий